

# ЧИСЛЕННЫЙ ПОДХОД К ПОСТРОЕНИЮ ФИЗИЧЕСКОЙ ЛИБРАЦИИ ЛУНЫ: РЕЗУЛЬТАТЫ ВТОРОГО ЭТАПА

А.А.ЗАГИДУЛЛИН<sup>1</sup>, Н.К. ПЕТРОВА<sup>1,2</sup>, В.С.УСАНИН<sup>1</sup>, Ю.А. НЕФЕДЬЕВ<sup>1</sup>,  
М.В.ГЛУШКОВ<sup>1</sup>

<sup>1</sup>Казанский Федеральный Университет, [arhtur.zagidullin@ya.ru](mailto:arhtur.zagidullin@ya.ru)

<sup>2</sup>Казанский Государственный Энергетический Университет

## 1. Постановка задачи

Разрабатывается численный подход к решению задачи о физической либрации Луны. Целями исследования являются: **1.** Ввести параметры для описания положения тела Луны в пространстве. **2.** Получить динамические уравнения, описывающие факторы, вызывающие ФЛЛ. **3.** Получить выражения для потенциала Луны в рамках главной проблемы. **4.** Разработать численный интегратор для решения полученных уравнений **5.** Сравнить результаты с аналогичным аналитическим решением.

## 2. «Главная проблема Луны»

Физическая либрация Луны (далее ФЛЛ) – это малые колебания относительно равномерного вращения (по законам Кассини). Под главной проблемой задачи понимают следующие условия:

1. Орбита Луны задается теорией движения, разработанной в рамках теории Брауна – Шмидта [1], при этом орбитальная и вращательная задачи рассматриваются независимо друг от друга.

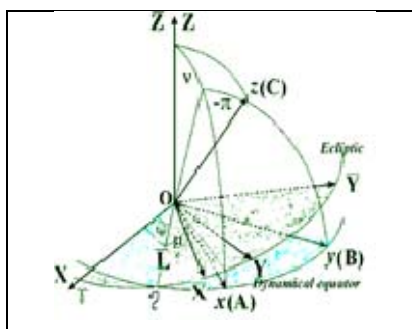


Рис 1. Показаны  
эклиптическая и  
динамическая СК,  
самолетные углы

2. Тело Луны представляет собой абсолютно твердое тело, описываемое в разложении потенциала 2-й и 3-й гармоникой.
3. В качестве возмущающих функций рассматриваются точечные Земля и Солнце.

### 3. Система уравнений Гамильтона для ФЛЛ

В качестве канонических углов для построения системы уравнений Гамильтона выбираются самолетные углы  $\mu$   $\nu$   $\pi$ , определяющие положение тела Луны относительно «инерциальной» системы отсчета. В нашем случае – это эклиптическая система эпохи J2000 (рис 1). Вращение луны рассматривается в динамической системе координат (ДКС) с началом в центре масс Луны и осями, сонаправленными с главными осями инерции ( $A < B < C$ ). Задача – реализовать переход от инерциальной СК к динамической СК. Для этого нами были получены кинематические уравнения для углов либрации  $\mu$   $\nu$   $\pi$ . В качестве канонических углов мы берем:  $q_1 = \mu$ ,  $q_2 = \nu$ ,  $q_3 = \pi$

$$\begin{pmatrix} x \\ y \\ z \end{pmatrix} = R_x(-\pi) \cdot R_y(\nu) \cdot R_z(\mu+L) \begin{pmatrix} X \\ Y \\ Z \end{pmatrix} \quad \begin{aligned} \Omega_x &= -\dot{\mu} \times \sin \nu - \dot{\pi} \\ \Omega_y &= -\dot{\mu} \times \cos \nu \times \sin \pi + \dot{\nu} \times \cos \pi \\ \Omega_z &= \dot{\mu} \times \cos \nu \times \cos \pi + \dot{\nu} \times \sin \pi \end{aligned}$$

*DCS* *Ecliptic*

Тогда выражение для кинетической энергии системы можно записать в следующем виде:

$$T = \frac{1}{2} \left[ (1+k_2) \cdot p_3^2 + (1+k_1) \cdot (p_2 \cdot \cos(q_3) - \sec(q_2)(n+p_1-p_3 \cdot \sin(q_2)) \cdot \sin(q_3))^2 \right] + \frac{1}{2} \left[ p_2 \cdot \sin(q_3) + \cos(q_3) \cdot ((n+p_1)\sec(q_2) - p_3 \tan(q_2)) \right]^2$$

В силу аддитивности силовой функции, можно записать ее следующим образом:

$$U = U_{2 \text{ earth}} + U_{2 \text{ sun}} + U_{3 \text{ earth}} + \dots$$

Тогда уравнения Гамильтона:  $\frac{dq_i}{dt} = \frac{\partial H}{\partial p_i}$  ,  $\frac{dp_i}{dt} = -\frac{\partial H}{\partial q_i}$   $H = T + U$

После некоторых выкладок можно получить полную нелинейную систему

Гамильтона для углов физической либрации Луны:

$$\frac{dq_1}{dt} = n \cdot \tan^2(q_2) + \frac{\cos^2(q_3) \cdot p_1}{\cos^2(q_2)} - k_1 \frac{p_2 \cdot \cos(q_3) \cdot \sin(q_3)}{\cos(q_2)} + k_1 \cdot n \frac{\sin^2(q_3)}{\cos^2(q_2)} + p_1 \frac{\sin^2(q_3)}{\cos^2(q_2)} + k_1 \cdot p_1 \frac{\sin^2(q_3)}{\cos^2(q_3)} -$$

$$- p_3 \frac{\cos^2(q_3) \cdot \tan(q_2)}{\cos(q_2)} - p_3 \frac{\sin^2(q_3) \cdot \tan(q_2)}{\cos(q_2)} - k_1 \cdot p_3 \frac{\sin^2(q_3) \cdot \tan(q_2)}{\cos(q_2)}$$

$$\frac{dq_2}{dt} = (1 + k_1) p_2 \cos^2(q_3) - k_1 \cos(q_3) \sec(q_2) (n + p_1 - p_3 \sin(q_2)) \sin(q_3) + p_2 \sin^2(q_3)$$

$$\frac{dq_3}{dt} = \frac{1}{2} (2(1 + k_2) p_3 + 2(1 + k_1) \sin(q_3) (p_2 \cos(q_3) - \sec(q_2)) [n + p_1 - p_3 \sin(q_2)] \sin(q_3) \tan(q_2)) -$$

$$- \cos(q_3) \tan(q_2) [p_2 \sin(q_3) + \cos(q_3) ((n + p_1) \sec(q_2) - p_3 \tan(q_2))])$$

$$\frac{dp_1}{dt} = \frac{dU}{dq_1}$$

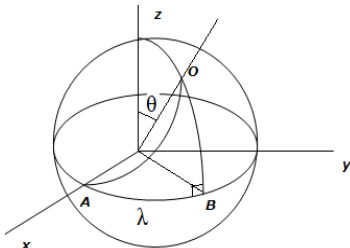
$$\frac{dp_2}{dt} = \frac{dU}{dq_2} - (1 + k_1) \sec^2(q_2) (p_3 - (n + p_1) \sin(q_2)) \sin(q_3) (p_2 \cos(q_3) - \sec(q_2) (n + p_1 - p_3 \sin(q_2)) \sin(q_3)) -$$

$$- \cos(q_3) \sec(q_2) (-p_3 \sec(q_2) + (n + p_1) \tan(q_2)) (p_2 \sin(q_3) + \cos(q_3) ((n + p_1) \sec(q_2) - p_3 \tan(q_2)))$$

$$\frac{dp_3}{dt} = \frac{dU}{dq_3} + k_1 (p_2 \cos(q_3) - \sec(q_2) (n + p_1 - p_3 \sin(q_2)) \sin(q_3)) (p_2 \sin(q_3) + \cos(q_3) ((n + p_1) \sec(q_2) - p_3 \tan(q_2)))$$

#### 4. Потенциал. Сравнение гармоник

Для получения потенциала введем следующие обозначения для направляющих косинусов радиуса вектора Земли или Солнца. Используя рисунок 2, выразим



направляющие косинусы через сферический треугольник АОВ  $OA = u_1$ ,  $OB = u_3$ ,  $u_2 = \sqrt{1 - u_1^2 - u_3^2}$

В результате громоздких вычислений получен окончательный вид для гармоник в разложении

Рис 2 К выводу гармоник Луны

селенопотенциала в ряд по сферическим функциям:

$$U_2 = \frac{3}{2} \frac{GM_e}{a^3_{L-E}} \left( \frac{a_{L-E}}{\rho} \right)^2 [(C - A)u_1^2 - (B - C)u_2^2]$$

$$\tilde{n}_{20} = \frac{1}{Ma^2} \left( \frac{A + B}{2} - C \right)$$

$$U_{2sun} = \frac{3}{2} \frac{GM_e}{a^3_{L-S}} \left( \frac{a_{L-S}}{\rho} \right)^3 [(C - A)u_1^2 - (B - C)u_2^2]$$

$$\tilde{n}_{22} = \frac{1}{4Ma^2} (B - A)$$

$$U_3 = -\frac{3}{2} \frac{GM_e}{a^2_{L-E}} M_m a_{radius} \frac{a_{radius}}{a_{L-E}} \left( \frac{a_{L-E}}{\rho} \right)^4 \left[ \begin{array}{l} c_{31}u_1 + s_{31}u_2 + c_{30}u_3 + 10s_{33}u_2^3 - \frac{5}{3}c_{30}u_3^3 - 10c_{33}u_1^3 \\ - 5c_{31}u_1 u_3^2 - 10c_{32}u_1^2 u_3 - 20s_{32}u_1 u_2 u_3 - 5s_{31}u_2 u_3^2 + \\ + 30c_{33}u_1 u_2^2 - 30s_{33}u_1^2 u_2 + 10c_{32}u_2^2 u_3 \end{array} \right] \frac{GM_e}{a^3}$$

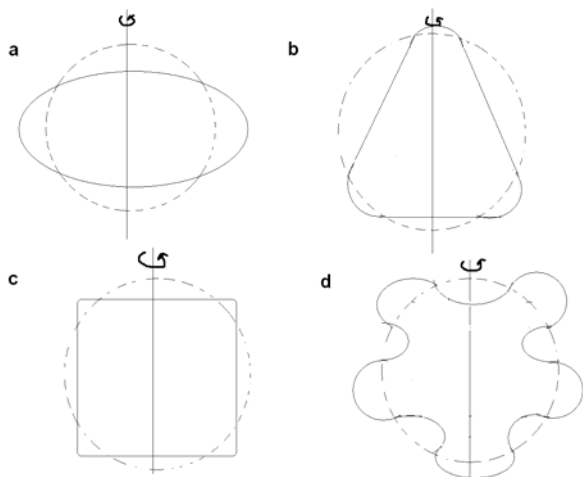
Заметим, что величина

вычисляется на основе уточненного третьего

закона Кеплера

$$\frac{GM_e}{a^3} = n^2 \left( 1 + \frac{n^2}{2n^2} \right) \frac{M_e}{M_e + M_m}$$

Рассматривая гармоники разных степеней (рис 3, приведены только зональные компоненты), а – сжатие, b – грушевидность, c – квадратная, d – пятилепестковая, можно заметить на одну особенность.



Одним из первых, кто указал на особенность связанную с третьей гармоникой, был Хабибуллин Ш.Т [2]: Третья гармоника селенопотенциала вызывает постоянное смещение оси направленной на среднее положении Земли, и таким образом существенно влияет только в либрации в долготе. Приведем сравнение гармоник разной степени нормированную на 2-ю гармонику:

Рис 3. Зональные гармоники

$$\frac{U_2^S}{U_2} \sim 6 \cdot 10^{-3} \quad \frac{U_3^S}{U_2} \sim 4 \cdot 10^{-9} \quad \frac{U_2^V}{U_2} \sim 6 \cdot 10^{-7}$$

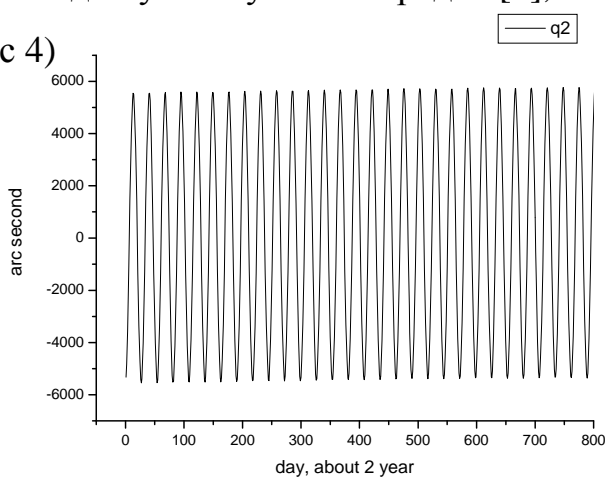
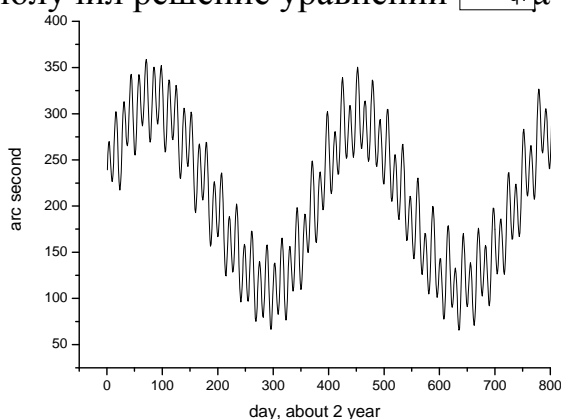
$$\frac{U_3}{U_2} \sim 3 \cdot 10^{-4} \quad \frac{U_4}{U_2} \sim 3 \cdot 10^{-6} \quad \frac{U_5}{U_2} \sim 2 \cdot 10^{-8}$$

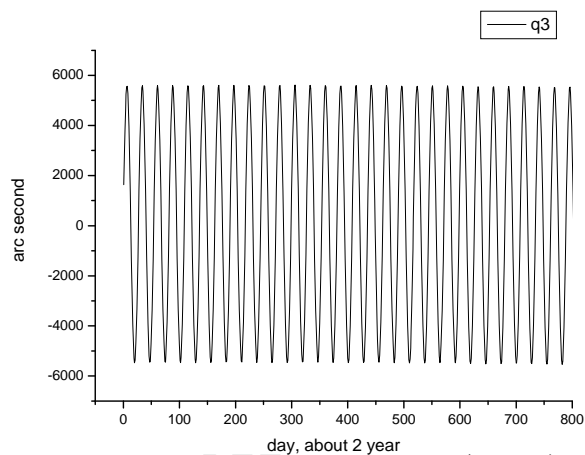
В соответствии с приведенными оценками, понятно, что в первую очередь (в рамках главной проблемы) необходимо учитывать взаимодействие Луны, описываемой второй и третьей гармоникой с Землей и Солнцем, которые рассматриваются как гравитационные точки. Этими условиями и определяются рамки главной проблемы.

### 5. Решение ФЛЛ (на 2 года)

Построив численный алгоритм на основе метода Рунге Куты 10 порядка [3],

мы получили решение уравнений  $\mu \text{ и } \pi$  (рис 4)



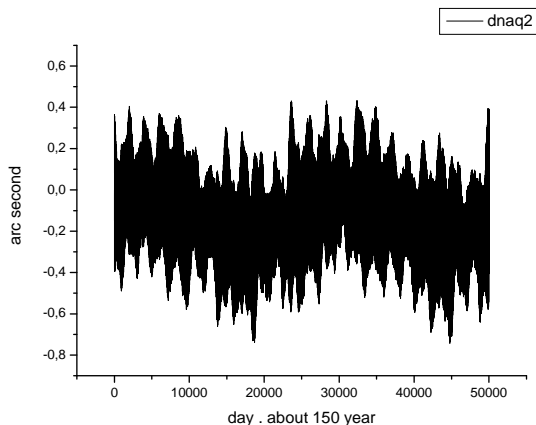
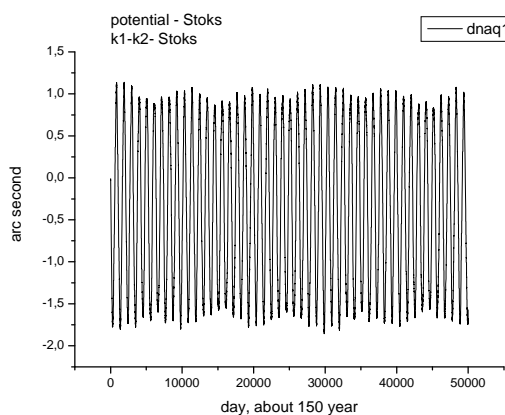


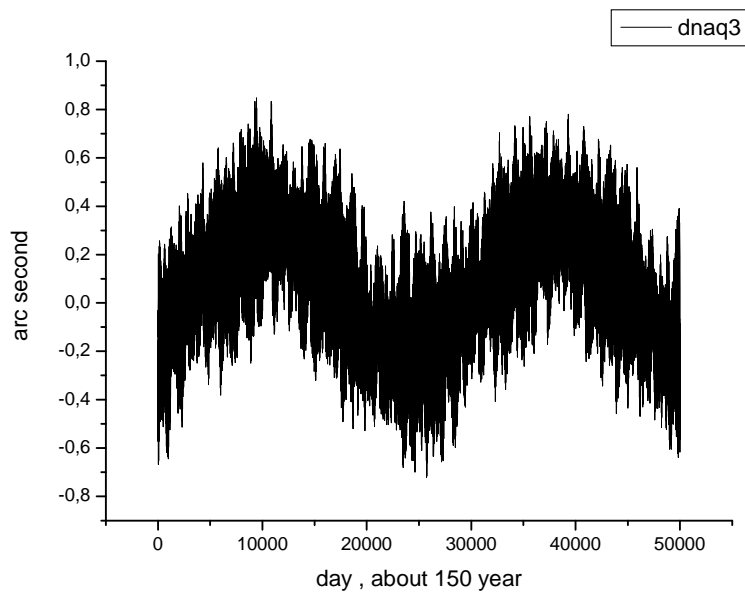
**Рис 4. Приведено решение ФЛЛ в долготе ( $q_1, q_2$ ) и широте ( $q_3$ )**

Представленные графики показывают, что решение носит периодический характер, для  $q_1$  имеется постоянный сдвиг вследствие действия  $U_3$ , имеется лидирующая частота  $F$  для  $q_2$  и  $q_3$  в соответствии с кинематикой движения.

## 6. Анализ результатов

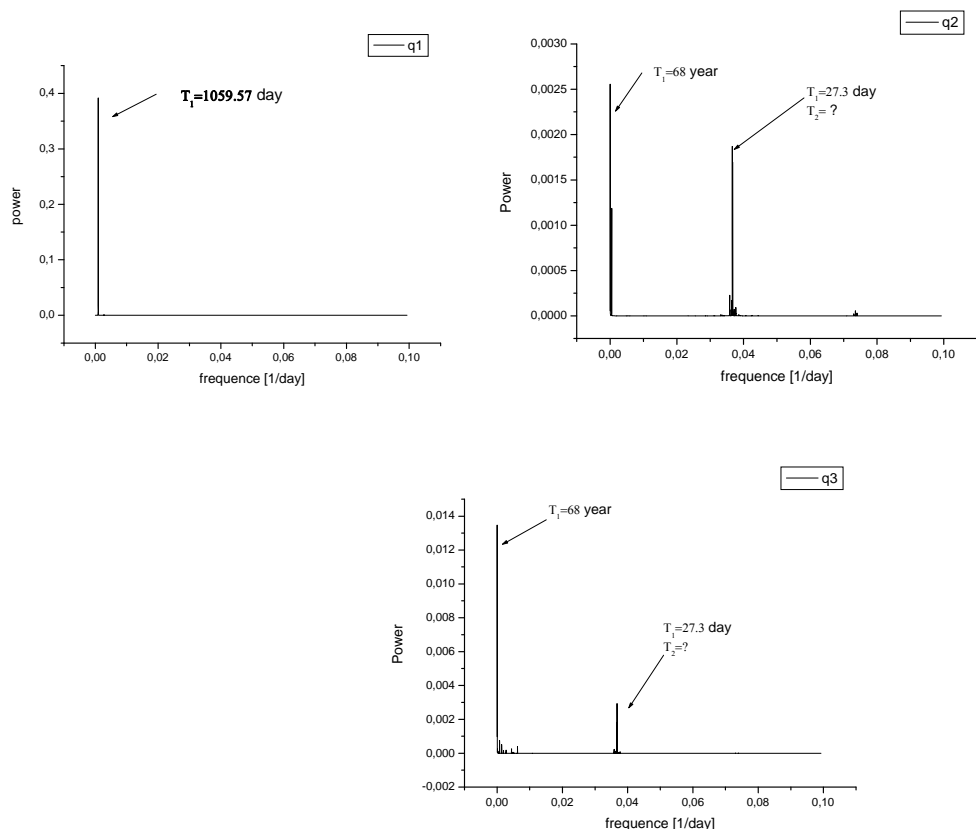
Мы сравнили наши численные результаты с аналитической теорией Петровой (1996) [4], отличие только в том, что уравнения Гамильтона и компоненты селенопотенциала разложены до  $4^{\text{го}}$  порядка по малым углам в аналитической работе. А также сравнили направляющие косинусы полюса эклиптики с аналогичными из работы Рамбо и Вильямса [5] (2011год, теория основана на DE421, для выявления амплитуд и частот используется фитирование ЛЛЛ).





**Рис 5. Остаточные разности (Численное минус аналитическое решение)**

На рис 5, показаны остаточные разности решений на интервале около 150 лет по сравнению с аналитической работы Н.К. Петровой. Амплитуда в долготе ограничена по модулю величиной 1.7 угловой секунды, а амплитуда в широте 0.7 угловой секунды на всем интервале интегрирования. Полученные границы остаточной разностей намного больше величины самой большой компоненты в ФЛЛ. Для выявления причины столь большой амплитуды, рассмотрим периодограмму Шустера (рис 6). На периодограмме показаны следующие периоды около 3 лет для долготы, около месяца и 68 лет для широты. Полученные периоды являются резонансными. Наличие этих периодов вызывают малые делители при аналитическом решении. Таким образом, полученная амплитуда остаточных разностей зависит каким образом находилось решение для близких к резонансным частотам в аналитической работе Н.К. Петровой.



**Рис 6. Периодограмма Шустера для остаточных разностей**

Построив остаточные разности с рядами Рамбо и Вильямса, мы получаем величину амплитуды примерно в 10 раз больше, чем при сравнении с Данными Петровой. Столь большая амплитуда зависит от многих факторов: 1. Используемые постоянные 2. Больше количество гармоник 3. Внутренняя структура 4. Учет планет и другие факторы. Поэтому на данном этапе адекватное сравнение решения «главной проблемы» с данными Рамбо и Вильямса не может быть реализовано.

## 7 Выводы.

В представленной работе построено полное решение задачи физической либрации Луны в рамках «главной проблемы». Решение получено численным способом на основе метода Рунге Кутта 10 порядка. Внутренняя точность метода составляет  $10^{-10}$  угловой секунды на интервале 27 лет. Сравнение с аналитическими рядами ФЛЛ Петровой показало различие на резонансных частотах, причина которого кроется, скорее всего, в нерешенных проблемах

аналитического решения. В результате, амплитуда по модулю в долготе остаточных разностей составляет 1.7, а в широте 0.7 угловой секунды. Аналогичные выводы по поводу амплитуды остаточных разностей, делает Ерошкиным [6], что является независимым подтверждением правильности полученных нами результатов.

## **8 Литература**

- [1] [Schmidt, D. S.](#) The main problem of lunar theory solved by the method of Brown, 1980, Moon and the Planets, vol. 23, p. 135-164.
- [2] Хабибуллин Ш.Т. Развитие теории физической либрации Луны и селеноцентрические системы координат, 1998, Кинематика и физика небесных тел т.4, N1, p 35-42
- [3] Hairer E.: A Runge-Kutta Method of Order 10, 1978, J. Inst. Maths Applics 21, p 47-59
- [4] Petrova N Analytical extension of lunar libration tables, 1996, Earth, Moon and planets v 73,p 71-99
- [5] Rambaux N , Williams J. G. The Moon's physical librations and determination of their free modes,2011, Celest Mech Dyn Astr , v109,p 85–100
- [6] Eroshkin G.I Comparison of a Numerical Model of the Physical Libration of the moon with two Semi-Analytical ones, 1986, Symp. Figure and Dynamics of the Earth, Moon, and Planets.